

图 5 复兴工区川号综合剖面

排除了石墨化干扰的可能,验证后见辉钼矿工业 **矿体**。

大功率激电优、缺点简评

我们采用两台11~5 瓩的直流发电机串联起来作为供电电源,工作电压常用1000伏、电流用10~15安培,充、放电时间为10秒。供电电极极距 AB 为3000米,在AB 2 范围内观测。

二次场电位差(ΔV_2)和供电电源(j_0)在一定范围内呈线性关系,采用大功率电源即使在"大极距"(相对的)情况下也能获得可靠的 ΔV_2 值。激电采用大功率电源的优点是可用大极距,观测范围大,工作效率高,适合扫面工作。但是

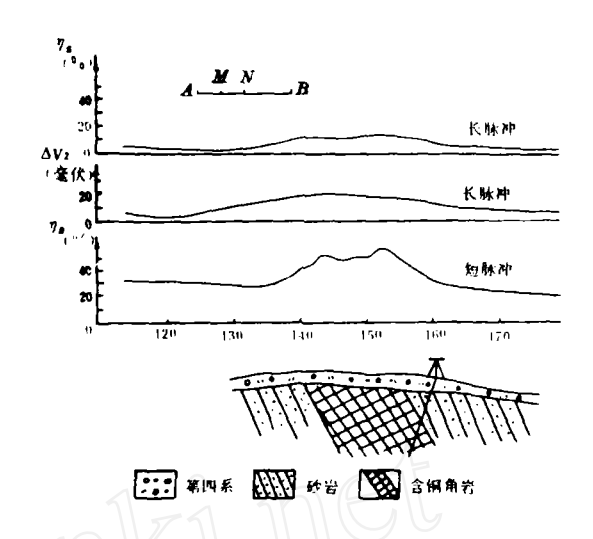


图 6 大黑山工区徽川 5 异常长短脉冲对比曲线随着极距的扩大,电阻率不均匀,地形起伏,供电极位置等因素的影响也相对增大,往往造成异常畸变。采用"大极距"供入地下的电流场的分布范围大,极化效应增强,勘探深度相应增大。但是,勘探深度不仅受矿体大小和形态、矿体与围岩的电性差异、低阻覆盖层等因素的影响;而且还随着极距的扩大,应迅速减小, ΔV 2 变弱,耦合效应增强,使观测精度降低,甚至不能读数。因此,不能为了增大勘探深度而任意加大极距;更不能认为通过扩大极距就能探测任何埋深的矿体。所以在野外找矿时,须根据区内地质条件选择"最佳"极距。权衡使用大功率的优缺点,充分发挥激电在使用大功率供电时的找矿作用。

IP 和电阻率对数假断面图

将野外测得的 IP 和电阻率数据表示成对数形式的假断面图,比目前常规绘制的假断面图更有意义,因为勘探深度是指数函数或对数函数,或者是幂函数。用双对数构制的 IP 和视电阻率图已有人讨论过,并不新奇。本文只是用图来简短说明所取得的成果。

静电等效性

用数学方法来模拟地层是基于静电等效性。 对此我们不在这里多作介绍。只是设想地下半空 间被划分成若干很薄的水平层,研究各层分别对 地表所测信号的作用。在地下构造和各个地层组 分给定的条件下,电流的分布只与供电电极的位 置有关,而探测深度则由测量电极相对供电电极 所在位置确定。方法概念简单,表现直观。也就 是说,我们不难想象到,地下很深的一个薄层对

地表信号的影响是很微小的,很浅的薄层也是一 样。因此响应函数一定是从接近地表的最小值逐 渐增大,到某一深度达到最大值,然后减小到达某 一更大深度又变为最小值。Roy 等人称此函数为 勘探深度指标(Depth of Investigation Characteristic, 简称DIC)。在他们的著作中, 主要 是讨论施伦贝尔热装置和温纳装置,也讨论了各 种偶极装置。遗憾的是他们在讨论中对所有装置 都是按电极排列的两个最远的电极之间的距离进 行规一化。这对施伦贝尔热装置是合理的,但对 偶极装置并不适用。我们根据 Edwards 对偶极 一偶极装置参数偶极距a进行数学上的再规一 化,并根据它与函数n 的关系确定出勘探深度指 标的某些性质。

用线性比例尺绘制的 DIC 与n 的关系图

这种关系图示于图 1。各个n 的DIC 曲线都 好像是对数正态分布曲线。这些曲线给出各个薄 层对总信号的作用。DIC 的绝对值无关紧要,重 要的是它们的相对值。n = 1 时DIC 曲线有一峰 值,其值比其他n值的DIC曲线的峰值都高。曲 线形状很陡。随着n 的增大, DIC 曲线的峰值减 小,峰值所在的深度增大,曲线变平缓。DIC的 三种特性都可用它与n 的关系来描述。把各个不 同n 值的DIC 曲线的峰值点连成一条曲线, 具有 光滑的指数或对数曲线的形态。

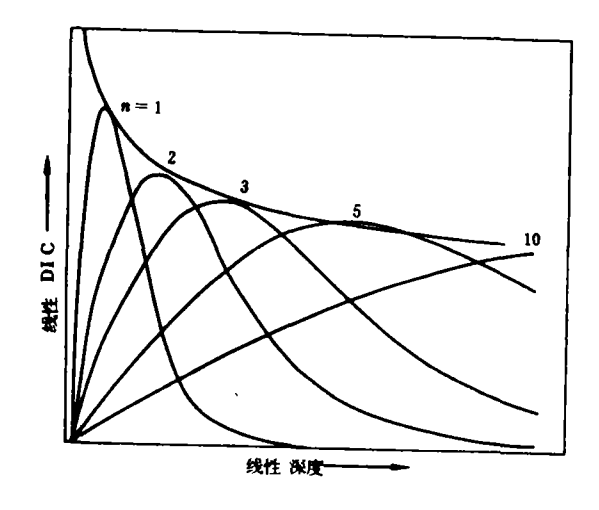


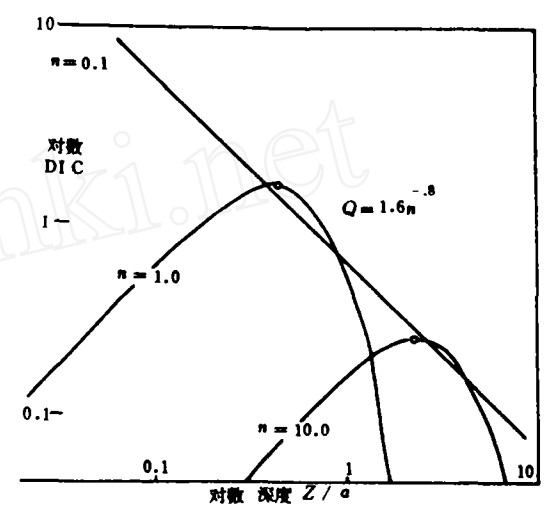
图 1 DIC 与n 的关系图 (用线性比例尺绘制)

用对数比 例尺绘制的 DIC 与n 的关系图

用双对数纸绘制的 DIC 与n 的关系示于图 2。指数关系表现的很明显, 曲线延伸大大超出 正常野外参数范围。对DIC 曲线峰值利用幂函数 拟合, 与n 的关系可用下式表示:

$$Q = 1.6n^{-8}$$

DIC 曲线真实的峰值用处不大,比较重要的是峰 值出现处的相对深度。另一重要因素是垂向分辨 力,它的定义是DIC 曲线半宽度的倒数。



共线偶极-偶极装置DIC 与 n 的关系图 (用双对数纸绘制)

最大 DIC 响应的深度

DIC 曲线峰值所在的深度与n 的大小有关。 它们的关系曲线也是一条指数曲线(图3)。拟 合最佳的幂函数是

$$Z = .3n^{-9}$$

可以看出, n 增大, 勘探深度也增大。但这与老 的"经验法则"实际上一样。该法则指出,如果 物体所在的深度等于1个偶极距,则在n=3时, 响应最大。

垂向分辨力

如果以半宽度的倒数对n 作图, 再次得到指 数函数的关系如下:

$$R_{\rm V} = .6n^{-.8}$$

我们知道埋藏浅的物体不难分辨,但不一定知道它遵循指数关系。它说明物体埋深小于1个偶极距比埋深大于1个偶极距能更好地被分辨。可是我们通常都不在n小于1的情况下进行野外测量。 所以没有取得在这个围范内的信息。

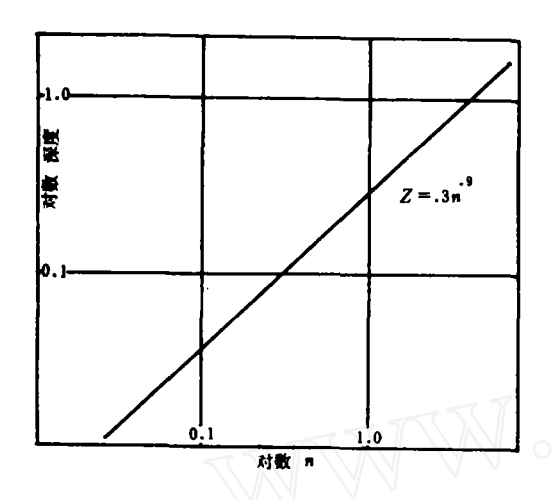


图 3 最大DIC 响应的深度

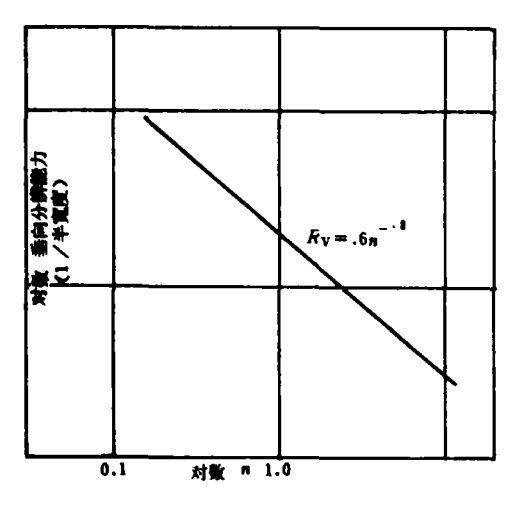


图 4 垂向分辨力

DIC 指标

综上所述,偶极一偶极排列最主要的特点是 受指数规律制约。电磁法勘探也有类似的特点。 趋肤深度是频率的幂函数。因此在电磁测深的磁 大地电流法或大地电流法中,采用很宽的频率范 围。所以在偶极法中对偶极的间距应采用同样的 做法。以便充分发挥方法的分辨能力。不过还要 考虑野外费用。不用说,不可能以经济方便的方式从n=.1开始,一直测到n=10为止。在围岩导电性好的情况下,n 4时,信噪比低,严重妨碍快速取得读数。不过在n小于1的测量中,读数快,费用合理。作者曾试验过偶极距n的多种组合,结果认为采用n=.1、.5、1.2.3、5这套组合最经济。不在n大于5以上的偶极距情况下观测,而把时间花在读取n小于1时的读数。所得资料多了一个数量级。因为有了n=.1和n=.5的数据,使在双对数的断面图上多了过去的有的一个十进位的信息,可以构制比较完整的资料。

对数假断面图

用上节提出的一套n的组合,不仅在野外取得数据快,而且在假断面图上保持合理的等间距(图 5)。所有各个n的数据点仍与发送和接收偶极对称,但n小于1的数据点与在发送机的哪一侧读数有关,所以数据点有向某一边偏斜的现象。这种情况是接收机位于发送机的左侧。如果接收机在发送机两侧测量,数据点相应地调整。

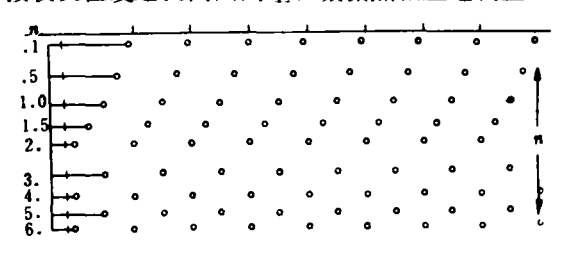


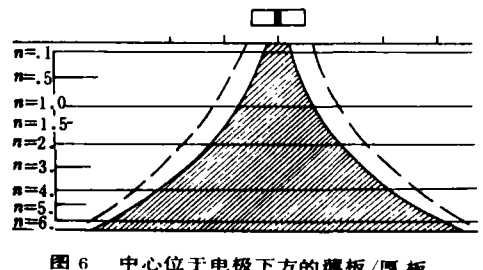
图 5 对数假断面图

随着n 的增大,数据点各行之间的垂直间距缩小。地面与n = 1 那一行之间的空隙较大。如果没有测得在n 小于 1 情况下的数据,就不可能知道这部分地层的情况。大家都知道,靠近地表这一薄层对深部勘探目标有屏蔽作用。要进行定量解释,就必须采用表层的真实值。在大多数情况下,在n 小于 1 时取得的数据比较接近表层的真实值。

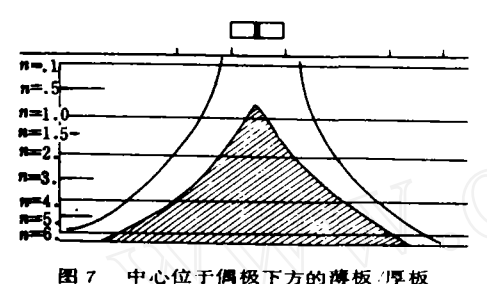
薄板和厚板的对数假断面图

图 6 是中心位于电极正下方的薄板和厚板的对数假断面图。仍然是我们熟悉的"裤腿"状,

不过现在底部呈钟形。有了n 小于 1 的数据, 水 平分辨力增大。不难确定板的半宽度。图 7 是中心 位于偶极中点正下方的薄板和厚板的假断面图。 同样,水平分辨力有改善。



中心位于电极下方的薄板/厚 板



等值线表示的对数的假断面图

图 8 是用等值线表示的对数假断面图。有了 n 小于 1 的数据, 改善了垂向分辨力。n=1 以 上部份出现成层的显示, 这在常规测得的图中是 看不到的,因为不在n小于1的情况下测量。由 于在n 小于1的情况下测有数据,可以帮助确定 真实的背景值,以便进行成果的定量解释。

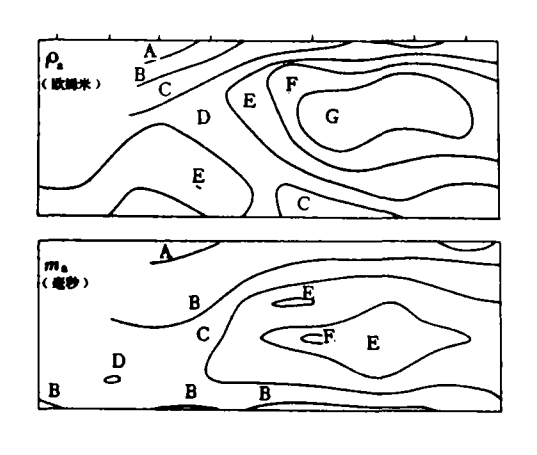


图 8 偶极-偶极对数假断面图 图 9 和图10是用施伦贝尔热电极排列测得的

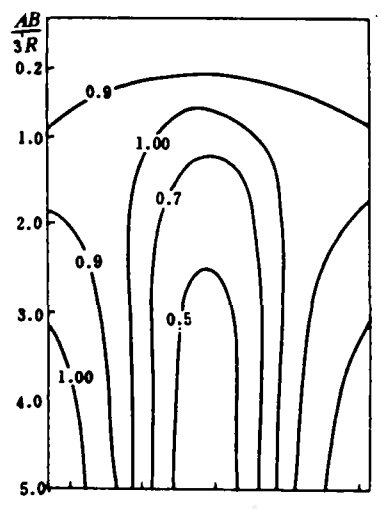


图 9 施伦贝尔热排列的线性假断面图

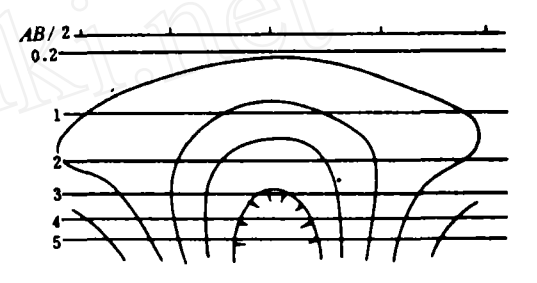


图10 施伦贝尔热排列对数假断面图

假断面图,图9是用线性比例尺绘制的,图10是 用双对数纸绘制的。

最后要强调的是, 偶极 - 偶极排列的本质是 受指数或对数函数的控制。应纠正我们的看法, 要象在电磁法勘探中那样,利用它的指数特征。 希望在今后的工作中,对数假断面的图示法能得 到推广。

> 摘译自SEG 1980年第50届年会报告 作者 James B. Fink (汪光照译,刘德馨校)

